

УДК 535.343.2

© 1992

ПЕРЕСТРОЙКА КОЛЕБАТЕЛЬНЫХ СПЕКТРОВ ПОЛУПРОВОДНИКОВЫХ СПЛАВОВ $Cd_{1-x}Zn_xTe$

С. П. Козырев, В. Н. Пырков, Л. К. Водопьянов

Проведен анализ спектров решеточного отражения сплавов $Cd_{1-x}Zn_xTe$ ($x = 0-0.5$) с использованием методов Крамерса—Кронига и дисперсионного анализа — восстановление диэлектрической функции кристаллического сплава $\hat{\epsilon}(\omega) = \epsilon'(\omega) + i\epsilon''(\omega)$ из спектра их отражения с последующим разложением функции $\epsilon''(\omega)$ на лорентцовые контуры решеточных осцилляторов. Значения частот решеточных осцилляторов для разных составов сплава распределяются по четырем модам $Cd-Te$ колебаний и четырем модам $Zn-Te$ колебаний в соответствии с модельной структурой сплава $Cd_{1-x}Zn_xTe$, образованной пятью базисными ячейками $Cd(4-n)Zn(n)Te$ ($n = 0, 1, 2, 3, 4$) из тетраэдрически расположенных катионов Cd и Zn вокруг общего аниона Te . Анализ сил осцилляторов решеточных мод для составов $x = 0-0.5$ не выявил отклонений от случайного распределения атомов Cd и Zn по катионной подрешетке сплава $(CdZn)Te$.

Для системы сплавов $Cd_{1-x}Hg_xTe$, образованных бинарными соединениями $CdTe$ и $HgTe$ с одинаковой структурой и почти равными решеточными константами, нам [1] удалось интерпретировать спектры решеточного отражения свойствами четырех решеточных мод $Cd-Te$ колебаний и четырех мод $Hg-Te$ колебаний с частотами, не зависящими от состава сплава. От состава сплава зависят силы осцилляторов этих решеточных мод. Представляет интерес возможность аналогичной интерпретации спектров решеточного отражения для системы сплавов $A_{1-x}B_xC$, образованных соединениями AB и BC с одинаковой структурой, но с сильно различающимися решеточными константами. Для этой цели мы провели анализ спектров решеточного отражения $Cd_{1-x}Zn_xTe$ при 20 К, ранее опубликованных в работе [2].

Сплавы $Cd_{1-x}Zn_xTe$ кристаллизуются в структуре цинковой обманки для всего интервала составов $0 < x < 1$. В отличие от сопряженных по решетке сплавов $Cd_{1-x}Hg_xTe$ сплавы $(CdZn)Te$ образованы двумя полупроводниковыми соединениями $CdTe$ и $ZnTe$ с сильно различающимися решеточными параметрами ($a_0 = 6.482$ и $a_0 = 6.104$ Å соответственно). Перестройка фононного спектра с составом в этой системе сплавов изучалась в [3,4] при 300 и 80 К. При низких температурах (20 К) исследования колебательного спектра методами ИК спектроскопии и комбинационного рассеяния света в объемных кристаллах $Cd_{1-x}Zn_xTe$ ($x = 0.005-1$) проводились в [2]. Спектры решеточного отражения сплавов $Cd_{1-x}Zn_xTe$ промежуточного состава характеризуются двумя сильными полосами. Попытки интерпретации спектров, полученных при низких температурах в [2], введением в дисперсионный анализ двух решеточных осцилляторов для $CdTe$ и $ZnTe$ -подобных колебаний в соответствии с двухмодовым типом перестройки колебательных спектров сплавов с составом оказались неудачными. Исходя из опыта математической обработки спектров решеточного отражения сплавов $Cd_{1-x}Hg_xTe$ [1], мы провели аналогичную обработку последовательным применением дисперсионного анализа и анализа Крамерса—Кронига спектров отра-

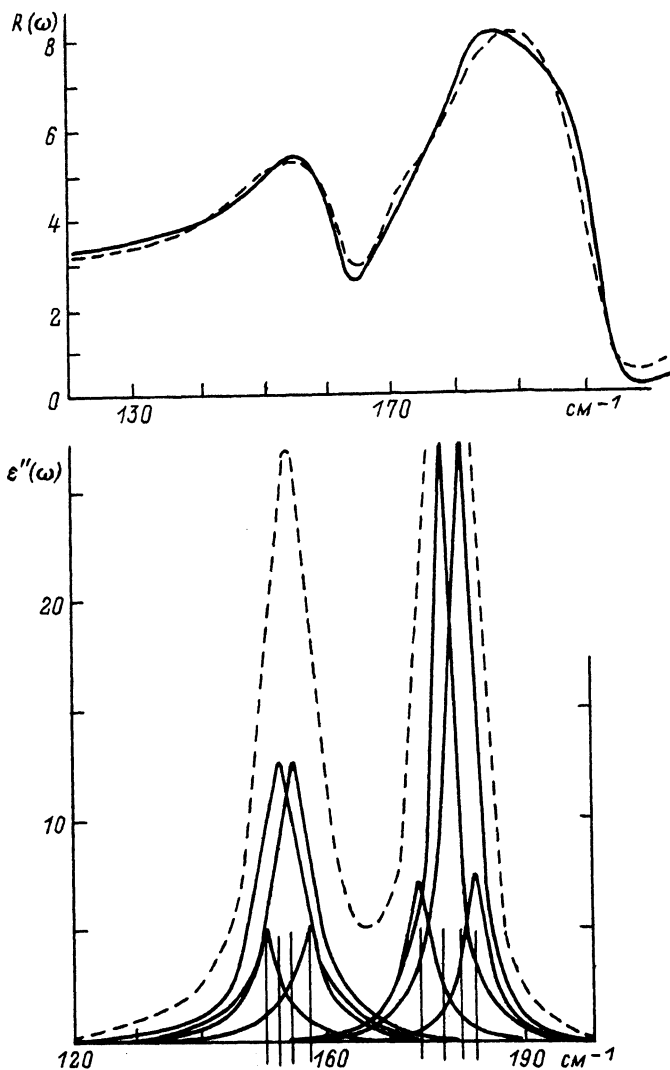


Рис. 1. Спектры отражения $R(\omega)$ сплава $\text{Cd}_{0.5}\text{Zn}_{0.5}\text{Te}$ при $T=20$ К (штриховая линия — экспериментальный [1], сплошная линия — модельный). Диэлектрическая функция $\epsilon''(\omega)$ (штриховые линии), восстановленная из анализа Крамерса—Кронига спектра отражения $R(\omega)$, и лорентцовые контуры (сплошные линии) гармонических осцилляторов, на которые разложена функция $\epsilon''(\omega)$.

жения сплавов $\text{Cd}_{1-x}\text{Zn}_x\text{Te}$ состава $x \approx 0$, $x=0.20$ и $x=0.50$ при температуре 20 К, опубликованных в работе [2].

На рис. 1 для иллюстрации представлены спектр решеточного отражения $R(\omega)$ сплава $\text{Cd}_{0.5}\text{Zn}_{0.5}\text{Te}$ при $T=20$ К (штриховая линия), взятый нами из [2], и мнимая часть $\epsilon''(\omega)$ диэлектрической функции, восстановленной из $R(\omega)$ методом Крамерса—Кронига. Разложение функции $\epsilon''(\omega)$ на лорентцовые контуры решеточных осцилляторов проводилось исходя из предположения о наличии совокупности четырех мод Cd—Te колебаний и четырех мод Zn—Te колебаний, соответствующих конфигурациям базисных ячеек Cd (4— n) Zn (n) Te с $n=0, 1, 2, 3, 4$. В зависимости от состава сплава $\text{Cd}_{1-x}\text{Zn}_x\text{Te}$ изменяются силы осцилляторов $S_n^c(x)$ и $S_n^z(x)$ соответствующих решеточных мод Cd—Te и Zn—Te колебаний. Силы осцилляторов $S_n^c(x)$ и $S_n^z(x)$ колебательных мод базисной ячейки

Cd (4—n) Zn (n) Te являются мерой числа связей Cd—Te или Zn—Te в сплаве для данной конфигурации базисной ячейки и соответственно пропорциональны вероятностям $P_n^c(x)$ или $P_n^z(x)$ атомам Cd или Zn в сплаве состава (x) находиться в базисной ячейке Cd (4—n) Zn (n) Te

$$S_n^c(x) = f_n^c N P_n^c(x),$$

$$S_n^z(x) = f_n^z N P_n^z(x),$$

где f_n^c — приведенная к одиночной связи Cd—Te сила осциллятора; N — полное число катионов (или ионных пар) в сплаве на единицу объема; $N P_n^c(x)$ — вероятное число катионов Cd на единицу объема сплава состава (x), находящихся в базисных ячейках с конфигурацией Cd (4—n) Zn (n) Te. Аналогичные обозначения и для катионов Zn.

Для случайного некоррелированного распределения атомов Cd и Zn по катионной подрешетке сплава $Cd_{1-x}Zn_xTe$ вероятность $P_n^c(x)$ атомам Cd в сплаве состава (x) находится в базисной ячейке Cd (4—n) Zn (n) Te равна

$$P_n^c(x) = \frac{4-n}{n} \left| \begin{array}{c} 4 \\ n \end{array} \right| (1-x)^{4-n} x^n,$$

где

$$\left| \begin{array}{c} 4 \\ 0 \end{array} \right| = \left| \begin{array}{c} 4 \\ 4 \end{array} \right| = 1, \quad \left| \begin{array}{c} 4 \\ 1 \end{array} \right| = \left| \begin{array}{c} 4 \\ 3 \end{array} \right| = 4, \quad \left| \begin{array}{c} 4 \\ 2 \end{array} \right| = 6,$$

и соответственно для атомов Zn

$$P_n^z(x) = \frac{n}{4} \left| \begin{array}{c} 4 \\ n \end{array} \right| (1-x)^{4-n} x^n.$$

В качестве первого приближения принималось, что приведенные к одиночной связи Cd—Te и Zn—Te силы осцилляторов f_n^c и f_n^z не зависят от конфигурации базисной ячейки и совпадают со значениями для чистых соединений CdTe и ZnTe. Сила осциллятора решеточной моды S^c для CdTe равна $S_0^c = f_0^c N = 3.1$ и для $ZnTe S^z = S_4^z = f_4^z N = 2.8$. В математическую программу дисперсионного анализа спектра $\epsilon''(\omega)$ для каждого состава сплава (x) вводились следующие значения сил осцилляторов для мод Cd—Te и Zn—Te колебаний

$$S_n^c(x) = 3.1 P_n^c(x), \quad S_n^z(x) = 2.8 P_n^z(x).$$

На рис. 2, 3 распределения сил осцилляторов $S_n^c(x)$ и $S_n^z(x)$ соответственно изображены сплошными линиями.

В соответствии с результатами исследования [5] сплавы $Cd_{1-x}Zn_xTe$ характеризуются бимодальным распределением длин связей между ближайшими соседями, т. е. длины связей Cd—Te и Zn—Te мало изменяются от их значений в чистых соединениях CdTe и ZnTe при изменении состава сплава. Поэтому частоты решеточных мод ω_n^c и ω_n^z Cd—Te и Zn—Te колебаний сначала принимались равными значениям предыдущего состава с последующим их варьированием в небольшом интервале частот при фиксированных значениях сил осцилляторов мод для данного состава сплава. Например, при расчете

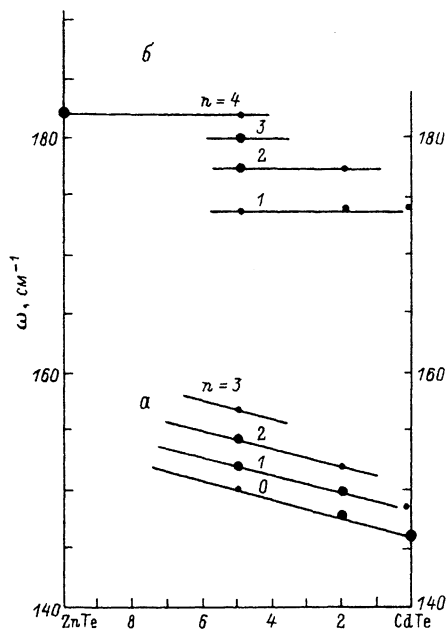


Рис. 2. Распределение частот решеточных TO мод ω_n^c и ω_n^z $Cd-Te$ (a) и $Zn-Te$ (b) колебаний базисных ячеек $Cd(4-n)Zn(n)Te$ ($n = 0, 1, 2, 3$ и 4) в зависимости от состава сплава $Cd_{1-x}Zn_xTe$ при 20 K .

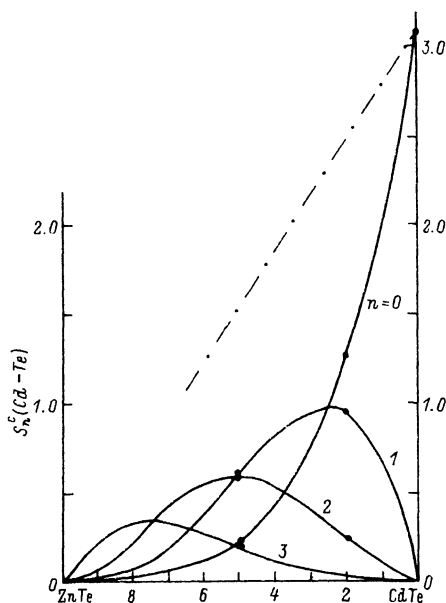


Рис. 3. Силы осцилляторов S_n^c решеточных мод $Cd-Te$ колебаний базисных ячеек $Cd(4-n)Zn(n)Te$ для разных составов сплава $Cd_{1-x}Zn_xTe$ при $T = 20\text{ K}$.

Сплошные линии — распределения сил осцилляторов $S_n^c(x)$ в зависимости от состава сплава в приближении жюитического распределения в сплаве катионов Cd и Zn для четырех мод с $n = 0, 1, 2, 3$. Штрихпунктир — $S^c(x) = z_n^c$.

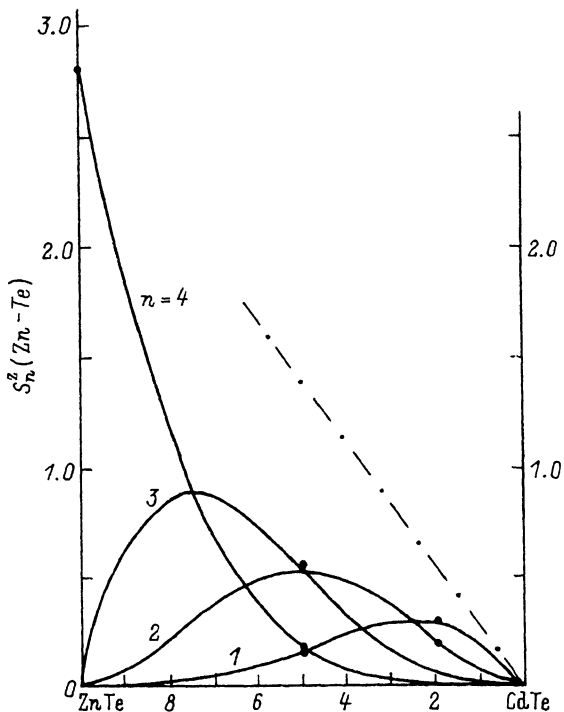
решеточных осцилляторных параметров сплава промежуточного состава $x = 0.50$ в программу вводились рассчитанные значения сил осцилляторов решеточных мод для $x = 0.50$ и значения частот мод для предыдущего состава $x = 0.20$ с последующим варьированием только частот решеточных мод. Пример разложения диэлектрической функции $\epsilon''(\omega)$, восстановленной методом Крамерса—Кронига из $R(\omega)$, на лорентцовые контуры решеточных осцилляторов $Cd-Te$ и $Zn-Te$ колебаний для сплава $Cd_{0.5}Zn_{0.5}Te$ показан на рис. 1. Параметры осцилляторов вводились в дисперсионную формулу для $\hat{\epsilon}(\omega)$, рассчитывался спектр отражения (на рис. 1 показан сплошной линией) и сравнивался с экспериментальным спектром отражения $R(\omega)$ (изображен штриховой линией). Значения частот ω_n^c и ω_n^z решеточных мод $Cd-Te$ и $Zn-Te$ колебаний, соответствующих базисным ячейкам $Cd(4-n)Zn(n)Te$, для составов $x \approx 0, x = 0.20$ и 0.50 при $T = 20\text{ K}$, определенные из спектров отражения $R(\omega)$ последовательным применением дисперсионного анализа и анализа Крамерса—Кронига, представлены на рис. 4, а значения сил осцилляторов S_n^c и S_n^z для этих мод — на рис. 2, 3 соответственно. В отличие от сплавов $Cd_{1-x}Hg_xTe$, где частоты мод $Cd-Te$ колебаний не меняются с составом сплава (x), для сплавов $Cd_{1-x}Zn_xTe$ частоты мод ω_n^c $Cd-Te$ колебаний заметно изменяются с составом (x), что и следовало ожидать из распределения длин связей между ближайшими соседями с составом сплава $Cd_{1-x}Zn_xTe$. Хотя обе системы сплавов характеризуются бимодальным распределением длин связей между анионами и катионами, в сплавах $Cd_{1-x}Hg_xTe$ длины связей $Cd-Te$ и $Hg-Te$ не изменяются с составом, тогда как в сплавах

Рис. 4. Силы осцилляторов S_n^z решеточных мод $Zn-Te$ колебаний базисных ячеек $Cd(4-n)Zn(n)Te$ для разных составов сплава $Cd_{1-x}Zn_xTe$ при $T = 20$ К.

Сплошные линии — распределения сил осцилляторов $S_n^z(x)$ в зависимости от состава сплава в приближении хаотического распределения в сплаве катионов Cd и Zn для четырех мод с $n = 1, 2, 3, 4$. Штрихпунктир — $S^z(x) = \sum S_n^z$.

$Cd_{1-x}Zn_xTe$ длины связей $Cd-Te$ и $Zn-Te$ изменяются в пределах $1/4$ от ожидаемого значения в приближении виртуального кристалла [5]. Распределение сил осцилляторов $S_n^c(x)$ и $S_n^z(x)$ решеточных мод $Cd-Te$ и $Zn-Te$ колебаний соответствует случайному распределению атомов Cd и Zn по катионной подрешетке сплава $Cd_{1-x}Zn_xTe$, что согласуется с результатами анализа тонкой структуры спектров ЯМР ^{125}Te для сплавов $Cd_{1-x}Zn_xTe$ с $x = 0.12, 0.30$ и 0.50 [6]. Наш

анализ спектров решеточного отражения ограничен сплавами промежуточного состава и обогащенных $CdTe$. Для этих сплавов колебательные спектры хорошо аппроксимируются четырьмя модами $Cd-Te$ колебаний и четырьмя модами $Zn-Te$ колебаний базисных ячеек $Cd(4-n)Zn(n)Te$ ($n = 0, 1, 2, 3, 4$), из которых образована модельная структура сплава. Силы осцилляторов этих решеточных мод изменяются с составом сплава и соответствуют произвольному распределению атомов Cd и Zn по катионной подрешетке сплава. Особенности, обнаруженные в сплавах $Cd_{1-x}Hg_xTe$ для некоторых составов и связанные с наличием упорядоченных фаз или кластерообразованием в ближнем порядке, в рассмотренных сплавах $Cd_{1-x}Zn_xTe$ не наблюдались.



Список литературы

- [1] Козырев С. П., Пырклов В. Н., Водопьянов Л. К. // Препринт ФИАН № 140. М., 1991.
- [2] Perkowitz S., Kim L. S., Feng Z. C. // Phys. Rev. B. 1990. V. 42. P. 1455—1457.
- [3] Водопьянов Л. К., Виноградов Е. А., Блинов А. М. // ФТТ. 1972. Т. 14. № 1. С. 268—270.
- [4] Виноградов Е. А., Водопьянов Л. К. // ФТТ. 1975. Т. 17. № 11. С. 3161—3166.
- [5] Balzarotti A. // Physica B. 1987. V. 146. P. 150—175.
- [6] Zamir D., Beshah K., Becla P., Wolf P. A., Griffin R. G., Zax D., Vega S., Yellin N. // J. Vac. Sci. Technol. A. 1988. V. 6. P. 2612—2613.

Физический институт им. П. Н. Лебедева
Москва

Поступило в Редакцию
27 января 1992 г.